

河床波の性状と流れ

九州大学 正員 渡辺 訓甫
 " 学生員 ○岡田 豊昭
 " " 正木 清嗣

移動床の水路や河川の底面には、一般に、波状の凹凸(砂礫)が発生し、流れの粗度や流砂量に大きな影響を及ぼす。砂礫の scale は底質や水理条件に規定されかが、ここでは多くの資料を基にそれらの間の関係を調べ、若干の考察を行なう。

1. 河床波の性質

Ripple, Dune の領域で水深 h と波長 λ との比 $\frac{\lambda}{h}$ / 入れ砂粗 Reynolds 數 $\frac{U_* d_{50}}{\nu}$ との関係を調べると、直線に Yaline が示しているように、

$$\frac{U_* d_{50}}{\nu} \geq 20 \text{ では } Dune \text{ で } \frac{\lambda}{h} \approx 0.2, \frac{U_* d_{50}}{\nu} < 20 \text{ では Ripple で } \frac{\lambda}{h} \text{ は大きくなる}.$$

なる資料を Dune, $\frac{U_* d_{50}}{\nu} < 20$ を Ripple として、その形状特性を調べる。資料は右表に示す通りである。

波高: 河床波を近似的に三角波とみなし、その波高を Δ 、波速を U_* とすれば、連続の式と形状不変の仮定から、1 波長間の平均の流砂量 Q は $Q = (1-\epsilon) U_* \frac{\Delta}{2}$ で表わせる。今、波速 U_* としては播音録・渡辺が導いたものを用いると、結局、波高 Δ は次式のようになる。

$$\frac{\Delta}{h} = \frac{\frac{2}{3} \frac{E}{1-F^2}}{E^2 g a + (2+2\alpha)} = \frac{2(E^2 + 1)}{E^2 g a + (2+2\alpha)}, \quad E = \frac{\lambda d}{h} \cdot (1 + A_* \beta_0) \dots \text{①}$$

① 式を用いて計算値と実測値とを比較したのが図-1, 2 である。散らばりはあるが、特に Dune については可成り良い結果が得られている。尚、①式の右辺はほとんど E に算しく、この場合、Dune 及び Ripple の波高は各々次式で表示できる。

$$\left. \begin{aligned} \text{Dune: } \frac{\Delta}{h} &= \frac{2}{3} \frac{1}{1-F^2} \cdot \left(1 - \frac{\beta_0}{4} \right) \cdot E \\ \text{Ripple: } \frac{\Delta}{h} &= \frac{2}{3} \frac{0.64}{1-F^2} \cdot \left(1 - \frac{\beta_0}{4} \right) \cdot E^{0.57} \end{aligned} \right\} \dots \dots \dots \text{②}$$

波長: Dune の場合、 λ/d を有効梯流力 λ に対して plot したのが図-3 である。可成り散らばっているが、実験水路では平均的に $\lambda/d \approx 5.5$ と Yaline とはほぼ同様の値である。又、河川(斐伊川)の資料では若干小さく $\lambda/d \approx 3.0$ である。次に、Ripple の場合は図-4 に示すように λ/d が λ に対して良くまとまり、

$$\lambda/d = 1.64 \times 10^3 \cdot \lambda^{0.358} \dots \dots \dots \text{③}$$

である。土研及び著者らの資料は他の資料より波長が小さいが、これは平行であり、著者らの資料が Ripple の発生初期波長

記号	実験者	d_{50} (mm)	記号	実験者	d_{50} (mm)
○	土木研究所	0.8 ~ 10	△	椿(斐伊川)	1.1 ~ 14
●	日 中	0.73	□	(人工水路)	1.3 ~ 2.2
○	Vanoni	0.14 ~ 0.23	○	(実験水路)	0.33 ~ 2.84
●	Kennedy	0.23 ~ 0.93	○	Laurersen	1.1
×	白 砂	0.8	○	Straub	0.69
○	Simons	0.45	○	Ackers	0.16

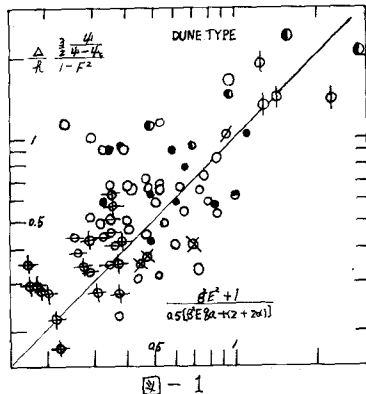


図-1

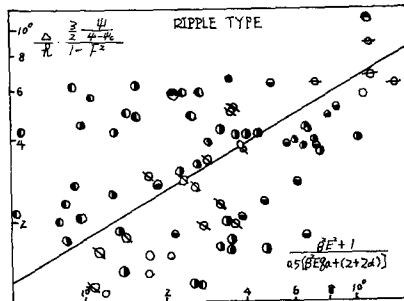


図-2

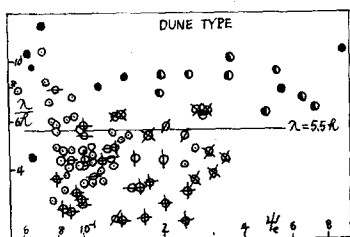


図-3

を測定したものであることを考慮すらならば、Ripple が発達するに従って、その波長が伸びていかることを示していかるものと思われる。

波形勾配：波形勾配 Δ/λ は上述の関係を用いれば

$$\text{Dune} : \frac{\Delta}{\lambda} = \frac{\Delta/h}{\lambda/h} = \frac{(1-F^2) \cdot \frac{2}{3} \cdot (1-\frac{4e}{\lambda}) \cdot E}{5.5} \sim f(\psi_e, I)$$

$$\text{Ripple} : \frac{\Delta}{\lambda} = \frac{h}{d} \frac{\Delta/h}{\Delta/d} = \frac{(1-F^2) \cdot \frac{2}{3} \cdot (1-\frac{4e}{\lambda}) \cdot \lambda_1 (1+\lambda_1 \psi_e)}{1.64 \times 10^3 \cdot \psi_e^{0.958}} \sim f(\psi_e)$$

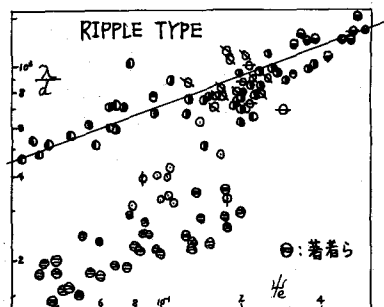
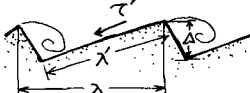


図-4

であるが、一応実験資料における I の変化が小さいことと、 ψ_e の方が重要な parameter であることから、 Δ/λ と ψ_e の関係を Dune 及び Ripple の場合について plot したのが図-5, 6 である。いずれも ψ_e が大きくなるにつれて Δ/λ は大きくなるが、Dune の場合は $\psi_e \approx 0.2$ で極大を持ち、さらに ψ_e が増大すると崩壊していくものと考えられる。Ripple の場合は、 ψ_e に対して明瞭な Δ/λ の増大が認められ、平均的には $\Delta/\lambda \approx 0.344 \psi_e^{0.586}$ ……④ である。
(REF. $\psi_e < 0.6$)

2. 河床波の抵抗

1 波長間の全抵抗を T_0 、砂連背面の抵抗を T' 抵抗係数を C_x とすれば、右図を参照して、1 波長間の力の釣合いは



$$T_0 = \frac{1}{2} \rho C_x u_0^2 \frac{\Delta}{\lambda} + T' \frac{\lambda'}{\lambda} \quad \dots \dots \dots \quad ⑤$$

である。ここで、 $\lambda' \neq \lambda$ 、 $u_0 \neq u_m$ とし、 λ' として有効摩擦流力の式 $\tau_0 = T_0 \cdot \frac{\varphi}{g}$ 、($\varphi = \frac{u_m}{u_{*}}$) を用いると、 C_x は Δ/λ の関数と考えられるから、結局、次の様な関係になる。

$$\frac{1}{2} \sqrt{1 - \frac{\varphi}{\psi_e}} \sim f(\frac{\Delta}{\lambda}) \sim f(\psi_e, I)$$

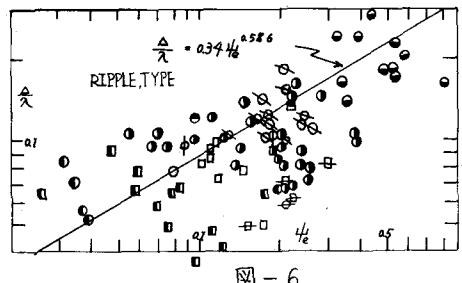


図-5

前述のように ψ_e が大きく働くと考えて、 $\frac{1}{2} \sqrt{1 - \frac{\varphi}{\psi_e}}$ と ψ_e の関係を示したのが図-7 であり、 ψ_e の増加と共に抵抗は増大し、Dune の場合は $\psi_e \approx 0.2$ で極大値を持つ。又、Ripple は小さい ψ_e においても Dune より波形勾配が大きいことを考慮すれば、sand wave の形状及びその発達・崩壊の過程が移動床流れの抵抗法則に切実に反映されていくことがわかるであろう。

終りに、本研究は椿教授の指導のもとに行なわれたものであり、今後、固定床の粗度との関連をも考慮しつつ、実験的、理論的に研究を進める予定である。

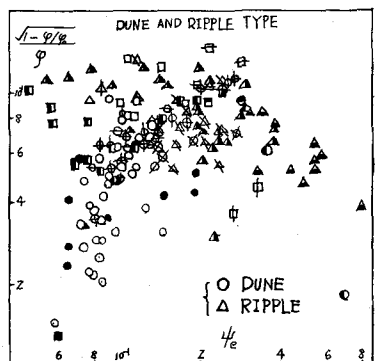


図-7